

# کنترل برداری موتورهای سنکرون سه فاز قطب برجسته که با اینورترهای منبع ولتاژ مدولاسیون پهنهای پالس تغذیه می‌شوند

جعفر سلطانی\* و محمد فلاح\*\*

دانشکده مهندسی برق و کامپیوتر، دانشگاه صنعتی اصفهان

(دریافت مقاله: ۱۳۷۶/۴/۱۶ - دریافت نسخه‌نهایی: ۱۳۷۷/۷/۷)

چکیده - در این مقاله، شبیه‌سازی رایانه‌ای یک موتور سنکرون سه‌فاز که به طور غیرمستقیم در مختصات مرجع شارددور مغناطیسی روتور<sup>۱</sup> کنترل برداری شده است، توضیح داده می‌شود. برای تغذیه اصلی موتور از یک اینورتر جدید ولتاژ از نوع مدولاسیون پهنهای پالس<sup>۲</sup> استفاده شده که در مقایسه با نوع متعارف سینوسی، به دامنه هارمونیک اول آن در حدود ۱۷٪ افزوده می‌شود و دامنه هارمونیک‌های بالاتر هم متناسب با عکس مرتبه‌شان تقلیل می‌یابند. در این سیستم ضربانهای گشتاور کم و در کار زیر سرعت پایه هم ضریب توان موتور تقریباً معادل یک است و به علاوه این درایو دارای رفتاری بسیار نزدیک به درایوهای DC توأم با یک پاسخ دینامیکی سریع است.

## The Vector Control of Three-Phase Salient Pole Synchronous Machines Supplied by Pulse-Width-Modulated Voltage Source Inverters

J. Soltani and M. Fallah

Department of Electrical and Computer Engineering, Isfahan University of Technology

**ABSTRACT-** In this paper, computer simulation of a three-phase synchronous motor drive is described. This drive/system is supplied with a new type of pulse-width modulated voltage source inverter (PWM VSI) whose amplitude of the first harmonic, compared to a conventional sinusoidal PWM VSI, is increased by about 17% and whose amplitude of higher harmonics is also reduced inversely proportional to their orders. This system has low torque pulsations and approximately has a unity power factor at operation below the base speed. In addition, it has a dynamic performance very close to DC drives with quick dynamic response.

\* استادیار      \*\* کارشناس ارشد

## فهرست علامت

تباشی (PI)			E <sub>b</sub>
مولفه طولی پیوندی ولتاژهای استاتور	U <sub>isd</sub>	پهنهای پالس ذوزنقه‌ای	
مولفه‌های دو محوری و غیر پیوندی	U <sub>sq</sub> و U <sub>sd</sub>	ولتاژ DC ورودی به اینورتر ولتاژ	E <sub>d</sub>
ولتاژهای استاتور		به ترتیب بردار جریانهای مغناطیسی و دو	i <sub>mq</sub> و i <sub>md</sub> و i <sub>m</sub>
ولتاژهای دو محوری مرتع استاتور	U <sub>syref</sub> و U <sub>sxref</sub>	محوری روتور	
مولفه‌های دو محوری ولتاژهای استاتور	V <sub>sy</sub> و V <sub>sx</sub>	جریان سیم پیچه‌ای تحریک و میراکنده	i <sub>rβ</sub> و i <sub>rα</sub> و i <sub>rf</sub>
ضرایب به کار گرفته شده در نمایش شکل	δ و γ	روتور	
موچ کنترل در تکنیک مدولاسیون پهنهای پالس ذوزنقه‌ای	σ'	مولفه دو محوری جریانهای واقعی استاتور	i <sub>sy</sub> و i <sub>sx</sub>
زاویه انحراف بین بردار جریان مغناطیسی		در مختصات مرجع (y,x)	i <sub>syref</sub> و i <sub>sxref</sub>
بردار شار دور مغناطیسی روتور	φ <sub>mq</sub> و φ <sub>md</sub>	مولفه‌های دو محوری جریانهای مرجع	
مولفه‌های دو محوری بردار شار دور		اندکتانسهای مغناطیسی دو محوری ماشین	L <sub>mq</sub> و L <sub>md</sub>
مغناطیسی متوجه		اندکتانسهای پراکنده‌ی هر فاز استاتور و	L <sub>rβl</sub> و L <sub>rαl</sub> L <sub>sl</sub>
مولفه‌های دو محوری مغناطیسی بردار شار	φ <sub>my</sub> و φ <sub>mx</sub>	سیم پیچه‌ای میراکنده روتور	
دور مغناطیسی روتور		به ترتیب دو عدد صحیح و یک عدد مختلط	K <sub>n,m</sub> n, m
شار دور مغناطیسی سیم پیچه‌ای تحریک و	φ <sub>rβ</sub> و φ <sub>rα</sub> , φ <sub>rf</sub>	ضرایب مدولاسیون دامنه و فرکانس	m <sub>f</sub> و m <sub>a</sub>
میراکنده روتور		مقاومت هر فاز استاتور و مقاومت	R <sub>rβ</sub> و R <sub>rα</sub> , R <sub>rf</sub> , R <sub>s</sub>
مولفه‌های دو محوری بردار شار دور	φ <sub>sq</sub> و φ <sub>sd</sub>	سیم پیچه‌ای میراکنده روتور	
مغناطیسی استاتور		ثابت زمانیهای کلی سیم پیچه‌ای میراکنده	T <sub>rβ</sub> و T <sub>rα</sub>
فرکانس موچ کنترل در تکنیک مدولاسیون	ω <sub>b</sub>	روتور	
پهنهای پالس ذوزنقه‌ای		ثابت زمانیهای پراکنده سیم پیچه‌ای	T <sub>rβl</sub> و T <sub>rαl</sub>
		میراکنده روتور	
		ضریب بهره و ثابت زمانی یک انتگرال‌گیر	E <sub>C</sub> و T <sub>C</sub>

## ۱- مقدمه

در درایوهای سنکرونی خودکنترل‌شونده از نوع کمتواسیون بار و تغذیه شده با اینورترهای جریان اجباری [۱ و ۲]، عمل کمتواسیون در تایریستورهای پل اینورتری درایو به صورت طبیعی و آن هم توسط ولتاژهای محركة القاء شده در فازهای استاتور توسط میدان تحریک روتور انجام می‌گیرد. در خصوص این نوع درایوهای تاکنون کارهای تحقیقاتی شایان توجهی انجام گرفته است که همگی آنها به روشهای مختلف کنترل اسکالری مربوط می‌شوند. لازم به ذکر است که امکان اجرای تکنیکهای کنترل برداری بر روی این دسته از درایوهای سنکرونی به هیچ وجه وجود ندارد، زیرا همان گونه که گفته شد عمل کمتواسیون در اینورتر این نوع درایو طبیعی است و آن هم در لحظات خاصی انجام می‌گیرد که در آن لحظات دامنه و جهت ولتاژهای القایی در فازهای استاتور شرایط مناسب لازم برای اجرای فرایند کمتواسیون طبیعی در تایریستورها را داشته

درایوهای سنکرون خودکنترل‌شونده به خاطر داشتن نتایج منحصر به فرد خود از انواع دیگر درایوهای رقیب اعم از DC و القایی مستمامیز شده‌اند. از جمله این ویژگیها عبارت‌اند از الف) - امکان طراحی درایوهای مذکور در سطح ولتاژ، جریان، توان و سرعتهای بالا (ب) - امکان کار چهارربعی آنها که جزو خصایص ذاتی آنهاست. از موارد دیگر می‌توان به پایین بودن عملی ضربانهای گشتاور، کمی ممان اینرسی روتور (به خاطر برجستگی قطب‌های روتور) اشاره کرد که منجر به حصول پاسخ سریع در درایو می‌شود. به لحاظ اینکه امکان کنترل قدرت راکتیو در ماشین سنکرون از طریق کنترل جریان تحریک روتور مقدور است، لذا این ماشینها می‌توانند تحت ضریب توانهای مختلف حتی در بارهای کم و با حداقل ضریب بهره و نسبت گشتاوریه جریان در شرایط کاری با بارهای زیاد (تا حد بار نامی) کار کنند.

مختلف کنترل اسکالری در این دسته درایو هامربوط می شود. به کارگیری روش‌های کنترل برداری در این گروه از درایوهای سنکرونی در هر دو مورد کنترل سرعت و موقعیت در محدود مقاالتی ارائه شده است [۶و۷]. در این مراجع کنترل سرعت و موقعیت درایوهای سنکرون خودکنترل شونده از نوع مغناطیس دائم بدون جاروبک<sup>۳</sup> مورد مطالعه قرار گرفته است. شایان توجه است که استفاده از درایوهای مورد اشاره به علت محدودیت در تکنولوژی و ساخت مغناطیسها دائم بسیار قوی فقط محدود به توانهای کم شده است. از این رو تا محدوده توانهای متوسط، نیاز به درایوهای سنکرونی از نوع روتور سیم پیچی شده و تغذیه شده با اینورترهای ولتاژ است. براساس اطلاعاتی که محققان این مقاله در اختیار دارند تاکنون مقاله‌ای در مورد کنترل برداری درایوهای سنکرون قطب بر جسته منتشر نشده است. لذا در این مقاله کنترل برداری درایوهای مذکور وقتی که با اینورترهای ولتاژ تغذیه می شوند مورد توجه قرار گرفته است. نتایج پیش‌بینی شده رایانه‌ای بر روی دو نوع مختلف از اینورترهای ولتاژ موسوم به مدولاسیون پهنهای پالس یکنواخت<sup>۴</sup> و ذوزنقه‌ای پله‌ای<sup>۵</sup> به نمایش گذاشته می شود. قابل توجه است که اینورتر نوع دوم جدیدترین از نوع خود بوده که در مرجع [۱۱] برای تغذیه درایوهای القایی براساس کنترل اسکالری با روش تغییر همزمان ولتاژ و فرکانس پیشنهاد شده است.

## ۲- بخش نظری

در شکل (۱) بردارهای فضایی شار دورهای مغناطیسی روتور و منتجه و نیز بردار فضایی جریانهای استاتور برای یک ماشین سنکرون قطب بر جسته نمایش داده شده است. در این شکل  $x$  و  $y$  محورهای روتور،  $SQ$  محورهای استاتور و بالاخره  $x$  و  $y$  مختصات دوممحوری ویژه‌ای است که در آن محور  $x$  همواره در راستای بردار فضایی شار دور پیوندی روتور قرار دارد.

با مراجعه به مرجع [۹]، برای یک ماشین سنکرون قطب بر جسته، جریان مغناطیس‌کننده و مولفه‌های مربوطه طبق معادله‌های زیر داده شده‌اند:

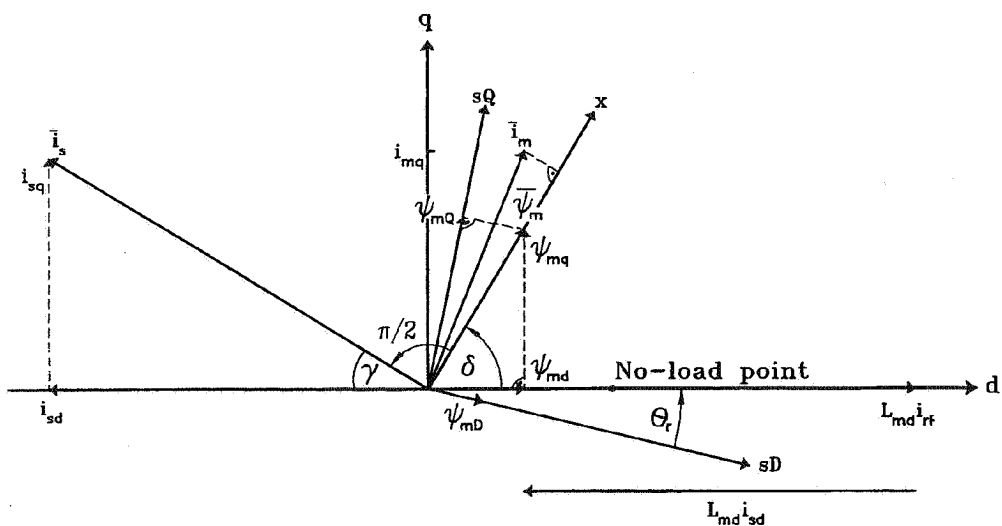
$$i_m = i_{md} + j i_{mq} = \frac{\varphi_{md}}{L_{md}} + j \frac{\varphi_{mq}}{L_{mq}} \quad (1)$$

باشند، لذا نمی‌توان به طور همزمان هم فرکانس آتش کردن تایریستورها را طوری تنظیم کرد که امکان به کارگیری روش‌های کنترل برداری با امتدادیابیهای مختلف امکان‌پذیر باشد و هم در عین حال فرایند کموتاسیون در اینورتر خروجی به صورت طبیعی باشد [۹].

دسته دوم از درایوهای سنکرونی خودکنترل شونده انواع تغذیه شده با سیکلوکنورترهای جریان و ولتاژ را می‌توان نام برد. از این دسته در محدوده توانهای زیاد و سرعتهای کم به طور گسترده‌ای در صنایعی نظیر فولادسازی، کارخانجات سیمان، معادن و کشتیرانی و غیره که در آنها نیاز به بالا بردن سرعت از طریق چرخ‌خوردگاه است استفاده شده است. بر روی این گروه از درایوهای، نه تنها کارهایی در زمینه کنترل اسکالری انجام گرفته است بلکه در دهه اخیر نیز مقالاتی چند هم در زمینه کنترل برداری آنها منتشر شده است [۴و۳]. در مرجع [۲]، کنترل برداری یک موتور سنکرون تغذیه شده با سیکلوکنورتر براساس امتدادیابی در راستای بردار فضایی شار دور پیوندی مغناطیسی منتجه ماشین با صرف نظر کردن اثرات سیم پیچهای میراکننده روتور ارائه شده است. چشمپوشی از این اثرات به خصوص در شرایط کارگذاری درایوهای مذکور موجب بروز خطای قابل توجه در تخمین دامنه شار دور پیوندی مغناطیسی در مدل اندازه گیر کننده (هر دو روش مستقیم و غیرمستقیم) می‌شود و دلیل آن است که در این شرایط کاری، به علت وجود جریانهای گردابی (جریانهای فوکو) در سیم پیچهای میراکنند، دامنه فلولی مغناطیسی منتجه به شدت تحت تاثیر شار دور پیوندی حاصل در این سیم پیچهای قرار می‌گیرند. از طرف دیگر، صرف نظر کردن از اثرات این سیم پیچهای میزان ضربانهای گشتاور پیش‌بینی شده را تغییر می‌دهد که دور از واقعیت است.

در مرجع [۴]، روش کنترل برداری درایوهای دسته دوم براساس امتدادیابی در راستای بردار فضایی شار دور پیوندی مغناطیسی استاتور فقط در سیستم مدار باز مورد تجزیه و تحلیل قرار گرفته است.

در خصوص کارهای تحقیقاتی ارائه شده درباره دسته سوم از درایوهای سنکرونی خودکنترل شونده که با اینورترهای ولتاژ تغذیه می‌شوند، می‌توان برای نمونه به مراجع [۸-۵] اشاره کرد. تقریباً تمامی کارهای انجام شده در این زمینه به استفاده از روش‌های



شکل ۱- نمایش بردارهای مکانی متغیرهای یک ماشین سنکرون قطب برجسته

$$i_{md} = i_{sd} + i_{rf} + i_{ra} \quad (2)$$

$$\varphi_{\text{sd}} = L_{\text{sl}} i_{\text{sd}} + \varphi_{\text{md}} \quad (\wedge)$$

$$i_{mq} = i_{sq} + i_{r\beta} \quad (3)$$

$$\varphi_{\text{sq}} = L_{\text{sq}} i_{\text{sq}} + \varphi_{\text{mq}} \quad (4)$$

به طوری که:

$$\varphi_{\text{md}} = L_{\text{md}}(i_{\text{sd}} + i_{\text{rf}} + i_{\text{rf}}) \quad (4)$$

$$\varphi_{\text{mg}} = L_{\text{mg}}(i_{\text{sq}} + i_{\text{r}\alpha}) \quad (5)$$

$$U_{rf} = R_{rf} i_{rf} + \frac{d\varphi_{rf}}{dt} \quad (10)$$

$$\varphi_{rf} = L_{fl} i_{rf} + \varphi_{md} \quad (11)$$

رو تورنند.  
R<sub>rf</sub> و L<sub>f1</sub> به ترتیب مقاومت و اندکتانس پراکنده‌گی سیم پیچ تحریریک

$$\bullet = R_{r\alpha} i_{r\alpha} + \frac{d\varphi_{r\alpha}}{dt} \quad (12)$$

$$\varphi_{r\alpha} = L_{r\alpha l} i_{r\alpha} + \varphi_{md} \quad (14)$$

$$\circ = R_{r\beta} i_{r\beta} + \frac{d\varphi_{r\beta}}{dt} \quad (14)$$

در این معادله‌ها به ترتیب  $\varphi_{md}$  و  $\varphi_{mq}$  عبارت از مولفه‌های شار دور پیوندی مغناطیسی منتجه در راستای محورهای  $\alpha$  و  $\beta$  روتور،  $i_{\alpha}$  جریان سیم پیچ  $i_{\alpha}$  و  $i_{\beta}$  جریانهای سیم پیچهای میراکننده،  $L_{md}$  و  $L_{mq}$  اندکتانسهای مغناطیسی دو محوری تحریک روتور و ماشین هستند. براساس نمودار برداری شکل (۱) که در آن زاویه روتور  $\theta_r$  بوده و از روی محور  $\alpha$  نسبت به محور مستقیم SD استاتور اندازه‌گیری می‌شود، معادله‌های ولتاژ استاتور در مختصات دو محوری، دو توان عبارت اند از:

$$U_{sd} = R_{sd} i_{sd} + \frac{d\varphi_{sd}}{dt} - \omega_r \varphi_{sq} \quad (9)$$

$$U_{sq} = R_s i_{sq} + \frac{d\varphi_{sq}}{dt} + \omega_r \varphi_{sd} \quad (V)$$

زمانیهای کلی و پراکندگی سیم پیچهای میراکننده معلوم باشند، آن‌گاه می‌توان با در دست داشتن مقادیر لحظه‌ای جریانهای تحریک و جریانهای دومحوری استاتور  $i_{sd}$  و  $i_{sq}$ ، مقادیر لحظه‌ای  $\varphi_{md}$  و  $\varphi_{mq}$  را محاسبه کرد. با مراجعه به مرجع [۹]، گشتاور الکترومغناطیسی هر ماشین AC اعم از سنکرون یا آسنکرون در مختصات دومحوری متعامد عمومی  $x$  و  $y$  از معادله (۲۰) به دست می‌آید (توجه شود که در شکل (۱) محور  $x$  همواره در راستای بردار فضایی شار دور مغناطیسی روتور است).

$$T_e = \frac{3}{2} P (\varphi_{mx} i_{sy} - \varphi_{my} i_{sx}) \quad (20)$$

در کنترل برداری ماشینهای سنکرون سه‌فاز تغذیه شده با اینورترهای مدولاسیون پهنهای پالس ولتاژ لازم است که در هر لحظه‌ای دامنه و فرکانس ولتاژهای سه‌فاز مقایسه‌ای (مرجع) استاتور (براساس هارمونیک اصلی) تعیین شوند تا بتوان به کمک آنها اینورترهای مذکور را فرمان داده و در نتیجه ولتاژهایی در اختیار ماشین قرار داده تا چنان جریانهایی در فازهای استاتور جاری سازند که بردار فضایی آنها دارای مولفه  $i_{sx}$  برابر صفر و از طرف دیگر مولفه اکتیو آن یعنی  $i_{sy}$  مستقل از  $\varphi_{mx}$  باشد (در شرایط کار پایدار رایو با صرف نظر کردن از اثرات اشباع مغناطیسی). در این شرایط، معادله (۲۰) به شکل ساده زیر در می‌آید:

$$T_e = \frac{3}{2} P \varphi_{mx} i_{sy} \quad (21)$$

با فرضیات بالا،  $\varphi_{mx}$  مستقل از  $i_{sy}$  می‌شود و در نتیجه ماشین سنکرون مانند یک ماشین DC تحریک جداگانه مجزا کنترل می‌شود به‌طوری که  $i_{sy}$  نقش جریان آرمیچر و  $\varphi_{mx}$  نقش شار دور مغناطیسی میدان تحریک در ماشین DC را بازی می‌کنند. همان‌طور که در کار با همه درایوها اعم از AC یا DC رایج است، در زیر سرعتهای پایه برای حصول حداقل نسبت گشتاور به جریان تولیدی در موتور در شرایط کار پایدار، دامنه فلوی مغناطیسی بر روی مقدار نامی و در بالاتر از سرعتهای پایه به خاطر ثابت نگهداشتن ولتاژ مغناطیسی موتور لازم است این مقدار متناسب با عکس سرعت تقلیل یابد.

$$\varphi_{r\beta} = L_{r\beta} i_{r\beta} + \varphi_{mq} \quad (15)$$

در معادله‌های (۱۲) تا (۱۵) به ترتیب  $L_{r\alpha}$  و  $R_{r\alpha}$  و  $L_{r\beta}$  و  $R_{r\beta}$  عبارت‌اند از مقاومت و اندکتانس‌های پراکندگی سیم پیچهای میراکننده مربوط به محورهای  $d$  و  $q$  روتور.

چون جریانهای سیم پیچهای میراکننده  $i_{r\alpha}$  و  $i_{r\beta}$  قابل دسترسی نیستند لذا لازم است که آنها را در معادله‌های ولتاژ مربوط به این دو سیم پیچ، (معادله‌های ۱۲ و ۱۴) حذف کنیم. با تعیین جریان  $i_{r\alpha}$  از معادله (۲) و جایگزینی آن در معادله (۱۴) و سپس قرار دادن معادله متبوعه در معادله (۱۲)، نهایتاً این معادله به صورت زیر در می‌آید:

$$T_{r\alpha} \frac{d\varphi_{md}}{dt} + \varphi_{md} = L_{md}(i_{sd} + i_{rf}) + L_{md} T_{r\alpha} \times \frac{d}{dt}(i_{rf} + i_{sd}) \quad (16)$$

به‌طوری که  $T_{r\alpha}$  برابر  $\frac{L_{md} + L_{r\alpha}}{R_\alpha}$  و  $T_{r\alpha}$  برابر  $\frac{L_{md} + L_{r\alpha}}{R_\alpha}$  و به ترتیب عبارت‌اند از ثابت زمانیهای کلی و پراکندگی سیم پیچ میراکننده محور  $d$  روتور.

به‌طریق مشابه، با ترکیب معادله‌های (۳)، (۱۵) و (۱۶) با یکدیگر، معادله ولتاژ سیم پیچ میراکننده واقع بر روی محور  $q$  روتور عبارت است از:

$$T_{r\beta} \frac{d\varphi_{mq}}{dt} + \varphi_{mq} = L_{mq} i_{sq} + L_{mq} T_{r\beta} \frac{di_{sq}}{dt} \quad (17)$$

$T_{r\beta}$  و  $T_{r\beta}$  به ترتیب برابر با  $\frac{L_{mq} + L_{r\beta}}{R_\beta}$  و  $\frac{L_{mq} + L_{r\beta}}{R_\beta}$  بوده و عبارت از ثابت زمانیهای کلی و پراکندگی سیم پیچ میراکننده محور  $q$  روتورند. با قرار دادن  $\frac{d}{dt} = P$  از معادله‌های (۱۶) و (۱۷)، شار دورهای مغناطیسی‌کننده دومحوری  $\varphi_{md}$  و  $\varphi_{mq}$  به صورت زیر به‌دست می‌آیند:

$$\varphi_{md} = L_{md}(i_{sd} + i_{rf}) \frac{1 + P T_{r\alpha}}{1 + P T_{r\alpha}} \quad (18)$$

$$\varphi_{mq} = L_{mq} i_{sq} \frac{1 + P T_{r\beta}}{1 + P T_{r\beta}} \quad (19)$$

به کمک معادله‌های (۱۸) و (۱۹)، در صورتی که مقادیر دقیق مربوط به اندکتانس‌های مغناطیسی دومحوری روتور و نیز ثابت

از مختصات سه محوری ساکن به مختصات دو محوری مرجع  $\hat{x}$  و  $\hat{y}$  به دست آورد. با در دست داشتن جریانهای واقعی  $i_{sx}$  و  $i_{sy}$  و جریان واقعی تحریک روتور  $i_{rfref}$ ، مقدار لحظه‌ای شار دورهای مغناطیسی دو محوری  $\varphi_{mq}$  و  $\varphi_{md}$  و نیز شار دور مغناطیسی  $\varphi_m$  و به علاوه اندازه زاویه  $\sigma$  (زاویه بین بردار فضایی شار مغناطیسی روتور در جهت محور  $\hat{x}$  با محور  $\hat{d}$  روتور در شکل (۱)) تعیین می‌شوند. با معلوم بودن زاویه  $\sigma$  و جریان مغناطیسی مرجع  $i_{sxref}$ ، به کمک معادله (۲۳)، می‌توان جریان مرجع  $i_{mref}$  استاتور را تعیین کرد. با انتقال  $i_{sxref}$  از مختصات دو محوری ویژه  $\hat{x}$  و  $\hat{y}$  به مختصات دو محوری روتور، جریانهای دو محوری مرجع استاتور در مختصات روتور موسوم به  $i_{sdref}$  و  $i_{sqref}$  محاسبه می‌شوند.

با در نظر گرفتن معادله‌های دو محوری ولتاژ استاتور در معادله‌های (۶) و (۷)، این معادله‌ها را می‌توان مجدداً به صورت زیر نوشت:

$$V_{sd} = U_{sd} + U_{isd} \quad (25)$$

$$V_{sq} = U_{sq} + U_{isq} \quad (26)$$

$$U_{sd} = R_{s1sd} + \frac{d\varphi_{sd}}{dt} \quad (1-27)$$

$$U_{isd} = -\omega_r \varphi_{sq} \quad (2-27)$$

$$U_{sq} = R_{s1sq} + \frac{d\varphi_{sq}}{dt} \quad (1-28)$$

$$U_{isq} = -\omega_r \varphi_{sq} \quad (2-28)$$

پس از مقایسه  $i_{sd}$  با  $i_{sdref}$  و نیز  $i_{sq}$  با  $i_{sqref}$  در خروجی دو کنترل‌کننده PI مربوط به این جریانها، به ترتیب مولفه‌های  $U_{sd}$  و  $U_{sq}$  در اختیار گذاشته می‌شوند که با جمع کردن آنها با مولفه‌های  $U_{sd}$  و  $U_{sq}$  ولتاژهای مرجع استاتور  $U_{sdref}$  و  $U_{sqref}$  محاسبه می‌شوند. پس از تعیین این ولتاژها، با انتقال آنها به مختصات سه محوری ساکن، می‌توان ولتاژهای لحظه‌ای سه‌فاز مرجع استاتور (براساس هارمونیک اول) را برای فرمان دادن به اینورتر ولتاژ محاسبه کرد.

با مراجعه به شکل (۱)، دیده می‌شود که به خاطر بر جستگی روتور، بردار فضایی شار دور مغناطیسی  $\varphi_m$  با بردار فضایی جریان مغناطیسی مربوط به آن هم امتداد نیست. با صرف نظر کردن از زاویه کوچک بین این دو بردار می‌توان معادله‌های زیر را نوشت:

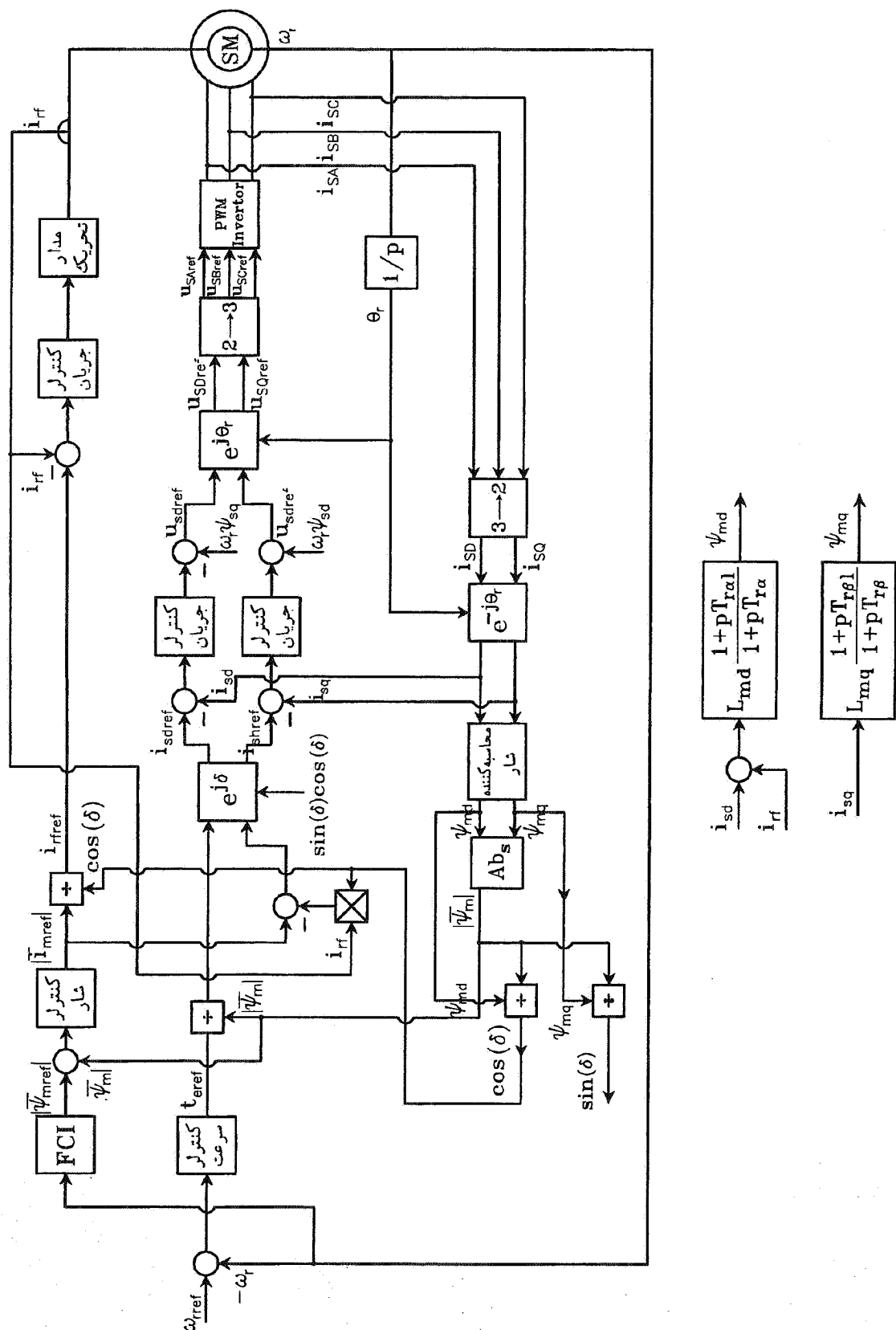
$$|i_{mref}| = i_{rfref} \cos(\delta) = |i_{rfref}^x - i_{syref}^y|^{\frac{1}{2}} \quad (22)$$

$$i_{sxref} = i_{rfref} - \frac{|i_{mref}|}{\cos(\delta)} \quad (23)$$

$$i_{syref} = |i_{mref}| - i_{rfref} \cos(\delta) \quad (24)$$

نمودار بلوکی مربوط به ماشینهای سنکرون قطب بر جسته که توسط اینورترهای ولتاژ تغذیه می‌شوند و در عین حال در راستای بردار فضایی شار دور پیوندی روتور کنترل برداری می‌شوند را می‌توان در شکل (۲) ملاحظه کرد. همان‌طور که از روی این شکل دیده می‌شود، در این نمودار بلوکی از پنج کنترل‌کننده انتگرال‌گیر تناسبی (PI) استفاده شده است که آنها عبارت اند از یک کنترل‌کننده PI سرعت، سه کنترل‌کننده PI جریان و یک کنترل‌کننده PI شار مغناطیسی. از طریق خروجی PI سرعت، به ازای یک سرعت درخواستی مرجع  $\omega_{ref}$ ، اندازه گشتوار مرجع  $t_{ref}$  به دست می‌آید و از طریق بلوک کنترل‌کننده فلو موسوم به (FG1)، به ازای سرعت درخواستی، مقدار شار مغناطیسی مرجع  $\varphi_{mref}$  محاسبه می‌شود. در صورتی که سرعت درخواستی کمتر از سرعت پایه باشد این مقدار برابر نامی و در غیر این صورت از مقدار نامی متناسب با عکس سرعت کاهش می‌یابد. خروجی کنترل‌کننده PI شار، مقدار جریان مغناطیسی مرجع  $i_{mref}$  را در اختیار می‌گذارد که با جایگزینی آن در معادله (۲۲) می‌توان مقدار مرجع جریان تحریک روتور  $i_{rfref}$  را محاسبه کرد و آن گاه توسط کنترل‌کننده PI جریان تحریک روتور، اندازه ولتاژ کنترل لازم برای فرمان به پل تایرستوری تغذیه کننده سیم پیچ تحریک روتور تعیین شود. به کمک معادله (۲۱)، با در دست داشتن مقدار  $i_{ref}$  و  $\varphi_{mref}$ ، مقدار  $i_{syref}$  به دست می‌آید و جریانهای واقعی دو محوری استاتور یعنی  $i_{sx}$  و  $i_{sy}$  را می‌توان با انتقال جریانهای واقعی استاتور (iSA و iSB) و (iSC) محاسبه کرد.

شکل ۲ - نمودار بلوکی کنترل برداری یک موتور سینکرون تطبیق‌جسته تغذیه شده با یونتورهای واتازا با امتدادیابی در راستای شار دور مغناطیسی روتور



جدول ۱ - مشخصات الکتریکی ماشین سنکرون قطب برجسته

$R_s(\text{PU})$	$X_{Ls}(\text{PU})$	$X_{md}(\text{PU})$	$X_{mq}(\text{PU})$	$X_{tf}(\text{PU})$	$X_{LKd}$	$X_{LKq}(\text{PU})$
۰/۰۰۵۱۵	۰/۰۸	۱/۷۷	۱	۰/۱۳۷	۰/۳۳۴	۰/۳۳

جدول ۲ - ضرایب مربوط به پنج کنترل کننده PI مربوط به سیستم درایو

کنترل کننده PI جریان تحریک $i_{rf}$	کنترل کننده PI جریان $i_{sq}$	کنترل کننده PI جریان $i_{sd}$	کنترل کننده شار مغناطیسی	کنترل کننده PI سرعت	ضرایب PI
۰/۵	۰/۰۵۱۶	۰/۰۵۱۵	۰/۷۵۴	۱	$k_1 = E_c(p.u)$
۵۶۰	۹/۶	۹/۶	۲۱/۱۱۲	۱/۶	$k_2 = \frac{E_c}{T_c}(p.u)$

روی رایانه مقادیر مناسب را برای حصول پایداری و کنترل سرعت مقاوم برای سیستم محاسبه کرد. استفاده از کنترل کننده‌ها با منطق فازی به جای کنترل کننده‌های PI و همچنین استفاده از الگوریتم زنگنه از روشهایی است که در دهه اخیر نظر محققان و طراحان درایو را به خود جلب کرده است.

در این مقاله برای یک موتور سنکرون قطب برجسته با مشخصات الکتریکی داده شده در جدول (۱)، به کمک خطی‌سازی معادله‌ها و روش سعی و خطای توامًا با هم، ضرایب مربوط به پنج کنترل کننده PI که در نمودار بلوکی شکل (۲) تعیین شده‌اند به کار گرفته شده است که مقادیر آنها در جدول (۲) آورده شده‌اند.

**۳- شبیه‌سازی رایانه‌ای اینورترهای ولتاژ**  
 مطالب نظری در مورد کار اینورترهای ولتاژ مدولاسیون پهنانی پالس در بیشتر کتابهای الکترونیک قدرت قابل جستجو است. به طور خلاصه در این اینورترها، ولتاژ ورودی DC که از طریق یک مبدل AC/DC در اختیار اینورتر گذاشته می‌شود تقریباً ثابت است. با مقایسه یک موج مثلثی موسوم به موج حامل با یک ولتاژ کنترل موسوم به موج مدولاتور که می‌تواند از انواع سینوسی، پله‌ای یکنواخت مربعی و ذوزنقه‌ای باشد، وقتی که مقدار لحظه‌ای ولتاژ موج مثلثی کمتر از اندازه لحظه‌ای ولتاژ موج کنترل باشد کلید مثبت فاز مربوطه وصل و هدایت در جهت مستقیم انجام می‌گیرد و در غیر این صورت کلید منفی مربوط به همان فاز قرار گرفته در یال مربوط به کلید مثبت وصل می‌شود و این بار هدایت در جهت عکس برقرار

مشکلترین قسمت کار، تعیین ضرایب مربوط به پنج کنترل کننده PI است که در نمودار بلوکی شکل (۲) به کار گرفته شده‌اند. تابع سیستم هر PI عبارت است از  $G_c(1 + \frac{1}{ST_c})$  که برای هر کدام بایستی ضرایب بهره G<sub>c</sub> و ثابت زمانی T<sub>c</sub> برای حصول یک کار پایدار و کنترل مقاوم برای سیستم درایو محاسبه شوند. متاسفانه تاکنون در خصوص درایوهای AC چه با روشهای کنترل اسکالر و چه کنترل برداری یک راه حل تحلیلی برای تعیین این ضرایب به صورتی که خواسته‌های بالا را فراهم آورد پیشنهاد نشده است (تا آنچه‌ای که مؤلفان این مقاله اطلاع دارند) و علت هم آن است که اگر تنها براساس هارمونیک اول متغیرهای ماشین تصمیم‌گیری شود و این ضرایب براساس خطی‌سازی معادله‌های مدار بسته سیستم محاسبه شوند این روش تنها در صورتی می‌تواند صحیح باشد که اطمینان حاصل شود که مقدار تغییرات متغیرهای ماشین در حول یک نقطه کار کوچک‌اند. از آنجا که درایوهای اساساً سیستمهای غیرخطی‌اند و مخصوصاً آنکه در اینورتر تغذیه کننده آنها چون به طور ناگهانی سطح ولتاژهای تغذیه از یک سطح به سطح دیگر تغییر می‌یابند، لذا در اینجا نمی‌توان از روش خطی‌سازی معادله‌ها استفاده کرد. ثانیاً، به خاطر وجود هارمونیکهای اضافی در ولتاژهای تغذیه استاتور اطمینانی وجود ندارد که ضرایب محاسبه شده براساس هارمونیک اول دیگر پایداری ماشین را با وجود هارمونیک اضافی نیز تضمین کنند (ناپایداری هارمونیکی). در هر حال می‌توان به عنوان اولین آزمون به کمک این روش ابتدا ضرایب مذکور را به طور ابتدایی تعیین و آن گاه با استفاده از روش سعی و خطای بر

تقلیل یابند.

در اینورتر منبع ولتاژ پهنهای پالس ذوزنقه‌ای پله‌ای، موج حامل از نوع مثلثی و موج کنترل از نوع ذوزنقه‌ای پله‌ای است، دامنه و فرکانس موج حامل برابر  $E_b$  و  $\omega_b$  و برای موج کنترل به ترتیب  $E_a$  و  $\omega_s$  هستند. براساس سری فوریه نمایی دوگانه [۱۲]، برای این اینورتر، دامنه هارمونیکهای خروجی از معادله زیر به دست می‌آید:

$$V_b(\omega_b t, \omega_s t) = \sum_{m=0}^{+\infty} \sum_{n=0}^{+\infty} K_{m,n} \exp[j(m\omega_b t + n\omega_s t)] \quad (29)$$

که در آن  $K_{m,n}$  یک عدد مختلط و  $m$  و  $n$  اعداد صحیح بوده که از  $\pm 1$  تا  $\pm \infty$  هستند. ضریب فوریه  $K_{m,n}$  به کمک زوایای نمونه‌برداری شده که از محلهای تلاقی موجهای حاصل و کنترل در شکل (۴) به دست می‌آیند محاسبه می‌شوند. معادله (۲۹) با توجه به اینکه  $m_f$  عدد فرد مضرب ۳ است به صورت زیر ساده می‌شود.

$$V_{Un} = \sum_{n=1}^{+\infty} V_{Un} \sin(n\omega_s t) \quad (30)$$

$$V_{Un} = \frac{\lambda m_a E_d [\pi \gamma \cos(\frac{n\pi\sigma'}{2})}{3\pi^2} + \frac{2(1-\gamma)}{n^2\sigma'} \sin(\frac{n\pi\sigma'}{2}) \cos(\frac{n\pi}{6}) \quad (31)$$

در معادله (۳۱)،  $E_d$  ولتاژ ورودی ثابت DC ورودی اینورتر،  $n$  عدد فرد صحیح و  $m_a$  ضریب مدولاسیون دامنه اینورتر است که برابر  $\frac{E_a}{E_b}$  بین صفر و یک برای مدولاسیون پهنهای پالس خطی تغییر می‌کند (البته امکان کار با  $m_a > 1$  برای این اینورتر هم فراهم است). انتخاب بهینه ضرایب  $\sigma'$  و  $\gamma$  براساس حذف هارمونیکهای مرتبه پایین ۵ و ۷ که در ماشینهای AC تولید ضربانهای گشتاور مضرب صحیح  $6\omega t$  می‌کنند بوده و مرجع [۱۱] نشان می‌دهد که با انتخاب  $\sigma' = 0.33$  و  $\gamma = 0.35$  ضمن کاهش یافتن قابل توجه دامنه هارمونیکهای غیراصلی به خصوص ۵ و ۷، دامنه هارمونیک اصلی نیز از معادله زیر به دست می‌آید:

$$V_{U1} = 0.586 m_a E_d \quad (32)$$

در مقایسه این معادله با حداکثر دامنه هارمونیک اول قابل حصول

می‌شود. انتخاب شکلهای موج ولتاژ کنترل مبتنی بر دو اصل کاهش دامنه هارمونیکهای غیراصلی و حتی المقدور بالا نگاهداشتن دامنه هارمونیک اول ولتاژهای خروجی اینورتر برای حصول حداکثر راندمان و حداکثر ضریب استفاده از منبع ولتاژ DC ورودی براساس شرایط یکسان سوئیچینگ و مقدار ولتاژ ثابت DC ورودی اینورتر است.

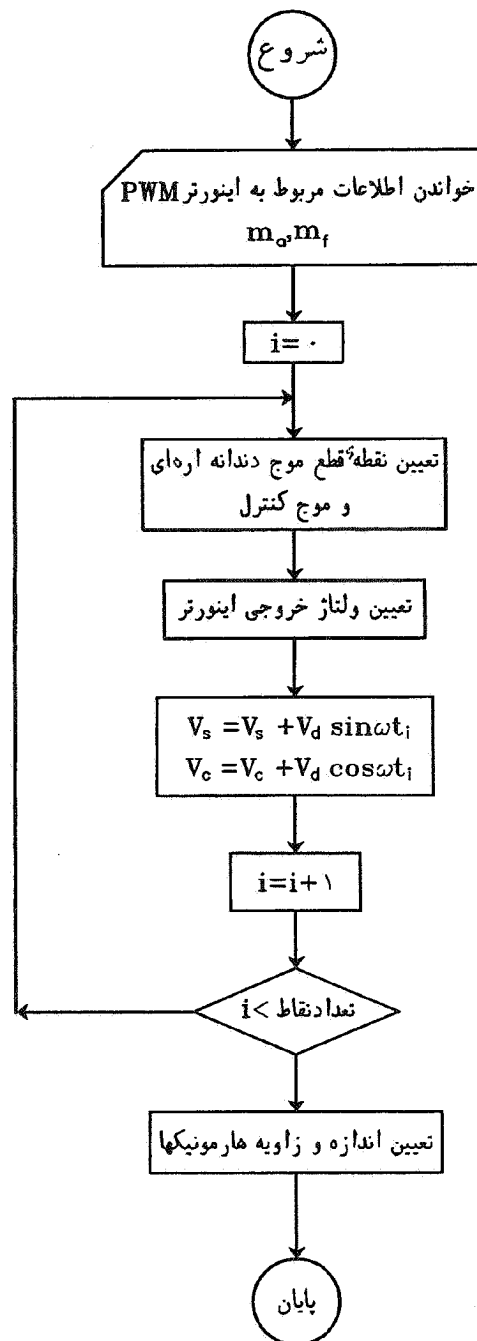
از بین اینورترهای ولتاژ مدولاسیون پهنهای پالس از نقطه نظر پایین بودن دامنه هارمونیکهای غیراصلی بهترین آنها نوع موسوم به نمونه‌برداری یکنواخت با موج کنترل پله‌ای است که در شکل (۴) نشان داده شده است. برای شرایط مساوی، این اینورتر در مقایسه با اینورتر نوع پهنهای پالس سینوسی تقریباً دارای همان جداکثر دامنه هارمونیک اصلی خروجی بوده ولی به طور قابل ملاحظه‌ای دامنه هارمونیکهای غیراصلی غیراصلی در آن کمتر از نوع سینوسی است. این اینورتر نسبت به نوع سینوسی دارای مزایای دیگری نیز هست که برای مزید اطلاعات می‌توان به مرجع [۱۰] مراجعه کرد. در اینورتر مدولاسیون پهنهای پالس یکنواخت، ضریب مدولاسیون فرکانس باقیستی عدد صحیح مضرب ۱۲ باشد، مضرب ۴ به دلیل آنکه در هر نیم‌پریود از موج حاصل مثلثی شکل، باقیستی ولتاژ کنترل دارای دامنه‌ای ثابت باشد (به صورت پله‌ای) تا اینکه هارمونیکهای زوج حذف شوند و مضرب ۳ به خاطر آنکه هارمونیکهای مضرب ۳ در ولتاژهای فازی اینورتر پدیدار نشوند.

یکی از جدیدترین اینورترهای منبع مدولاسیون پهنهای پالس، نوعی موسوم به ذوزنقه‌ای پله‌ای مطابق شکل (۵) است که در آن، شکل موج ولتاژ کنترل به صورت ذوزنقه‌ای پله‌ای است که در سال ۱۹۹۴ برای کنترل اسکالری یک درایو القایی در مرجع [۱۱] پیشنهاد شده است.

در اینورترهای منبع ولتاژ مدولاسیون پهنهای پالس سینوسی<sup>۷</sup> و یکنواخت، جداکثر دامنه هارمونیک اصلی برابر  $V_d/5$  است ( $V_d$  ولتاژ DC ورودی است) [۱۰]. این مقدار نشان می‌دهد که از منبع DC ورودی اینورتر استفاده بهینه نمی‌شود و از طرفی دامنه هارمونیکهای غیراصلی هم به طور سیستماتیک قابل کنترل نیستند. هدف از معرفی اینورتر ولتاژ ذوزنقه‌ای پله‌ای تا حدود زیادی رفع نواقص بالاست به طوری که در مجموع راندمان اینورتر بالاتر رفته و مقادیر نامی کلیدها تحت شرایط یکسان با سایر اینورترهای ولتاژ

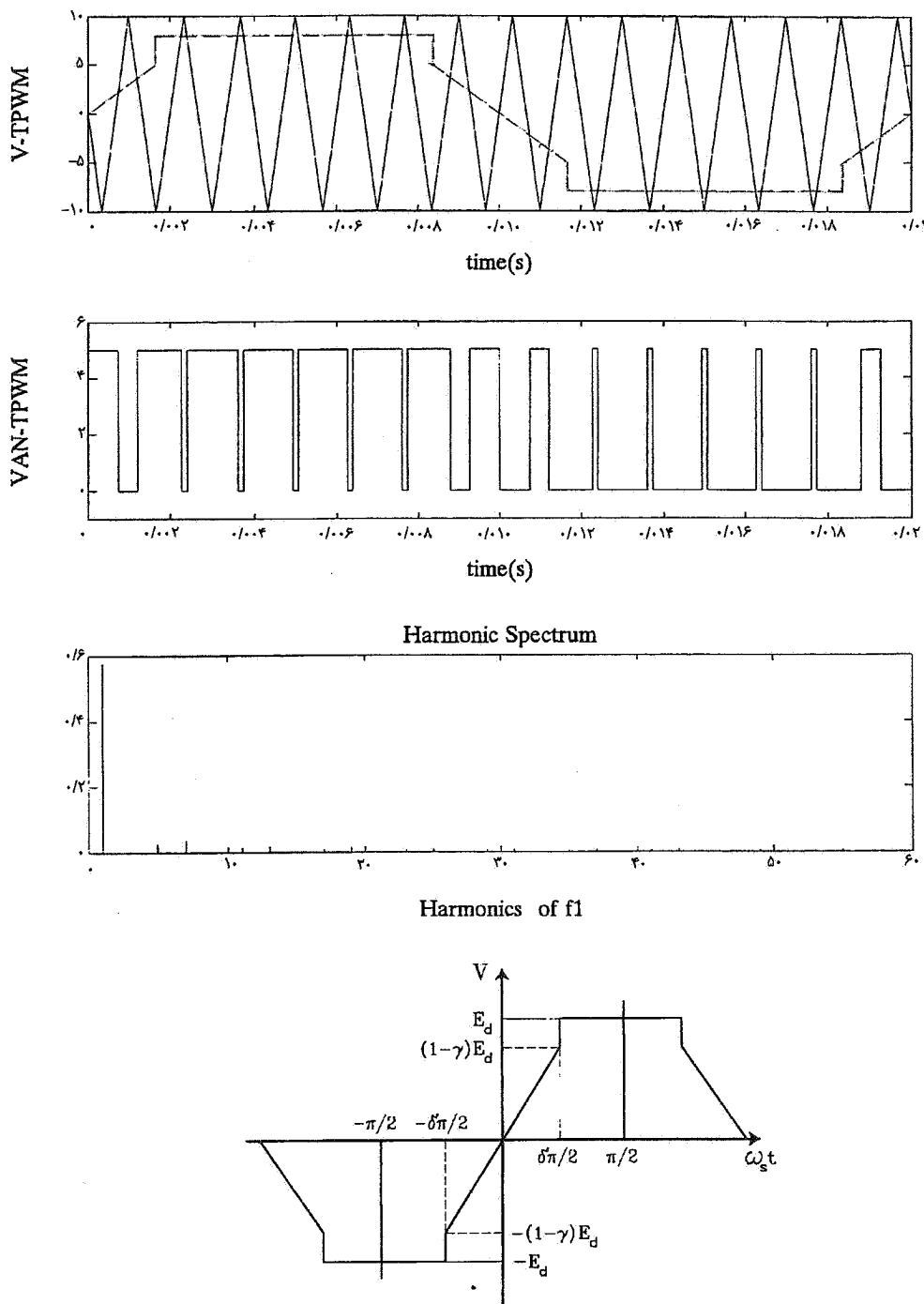
براساس بخش نظری مشروح در این قسمت از مقاله، یک برنامه رایانه‌ای با نمودار جریانی (روند نما) نشان داده شده در شکل (۳) نوشته شده است که براساس تعیین نقاط تلاقی موجهای حامل و کنترل، ضمن تعیین زوایای نمونه برداری از  $\alpha_1$  تا ...  $\alpha_n$  برای هر نوع اینورتر ولتاژ نوع مدولاسیون پهنهای پالس قادر است ضمن ترسیم شکل موج ولتاژهای لحظه‌ای خطی و فازی، دامنه هارمونیکها را محاسبه و طیف مربوطه را نیز در اختیار بگذارد. شایان توجه است که در مورد اینورتر منبع ولتاژ مدولاسیون پهنهای پالس سینوسی برای تعیین زوایای  $\alpha_1$  تا ...  $\alpha_n$  چون اساساً معادله‌های مربوطه غیرخطی اند برای حل آنها از روش حل عددی مشهور به رانج کوتای مرتبه ۴ استفاده شده است، با استفاده از این برنامه، نتایج شبیه‌سازی رایانه‌ای با  $m_a = 0/8$  و  $m_f = 12$  برای اینورتر منبع ولتاژ مدولاسیون پهنهای پالس یکنواخت و با  $m_a = 0/8$ ،  $m_f = 15$ ،  $m_a = 0/33$  و  $m_f = 0/38$  برای اینورتر منبع ولتاژ مدولاسیون پهنهای پالس ذوزنقه‌ای پله‌ای به ترتیب در شکل‌های (۴) و (۵) آورده شده‌اند. با مقایسه طیفهای هارمونیکی نشان داده شده در این نتایج مشاهده می‌شود که در این اینورتر منبع ولتاژ مدولاسیون پهنهای پالس ذوزنقه‌ای پله‌ای، دامنه هارمونیک اول افزایش یافته است و از طرفی همان طور که انتظار می‌رفت دامنه هارمونیک‌های غیراصلی نیز همراه با بالا رفتن مرتبه آنها برخلاف سایر اینورترهای منبع ولتاژ مدولاسیون پهنهای پالس سینوسی و یکنواخت و متناسب با عکس مرتبه‌شان کاهش یافته است.

**۴- شبیه‌سازی رایانه‌ای از سیستم مدار بسته درایبو**  
بر پایه نظریه‌ای که در بخش (۲) این مقاله ارائه شد برای شبیه‌سازی رایانه‌ای از سیستم مدار بسته درایبو که در شکل (۲) نشان داده شد برنامه رایانه‌ای با نمودار جریانی نشان داده شده در شکل (۶) نوشته شده است، به کمک این برنامه برای موتور سنکرون با اطلاعات الکتریکی مندرج در جدول (۱) و ضرایب PI‌های محاسبه شده در جدول (۲)، برای منبع تغذیه سینوسی خالص و دو نوع اینورتر منبع ولتاژ پهنهای پالس ذوزنقه‌ای پله‌ای و یکنواخت به ترتیب با  $m_f = 15$ ،  $m_a = 0/33$  و  $m_f = 0/38$ ،  $m_a = 0/8$  و  $m_f = 12$  نتایج پیش‌بینی شده رایانه‌ای طی سری شکل‌های (۷) الی (۹) برای کنترل چهار ریمی



شکل ۳- نمودار جریانی برنامه رایانه‌ای برای شبیه‌سازی اینورترهای ولتاژ مدولاسیون پهنهای پالس

در اینورترهای منبع ولتاژ مدولاسیون پهنهای پالس سینوسی و یکنواخت ملاحظه می‌شود که در شرایط یکسان در این اینورتر، دامنه هارمونیک اول به میزان ۱۷ درصد افزایش یافته است و از طرفی برخلاف انواع دیگر اینورترهای ولتاژ به خصوص دو نوع مذکور با بالا رفتن مرتبه هارمونیک‌ها، دامنه آنها نیز کاهش می‌یابند.



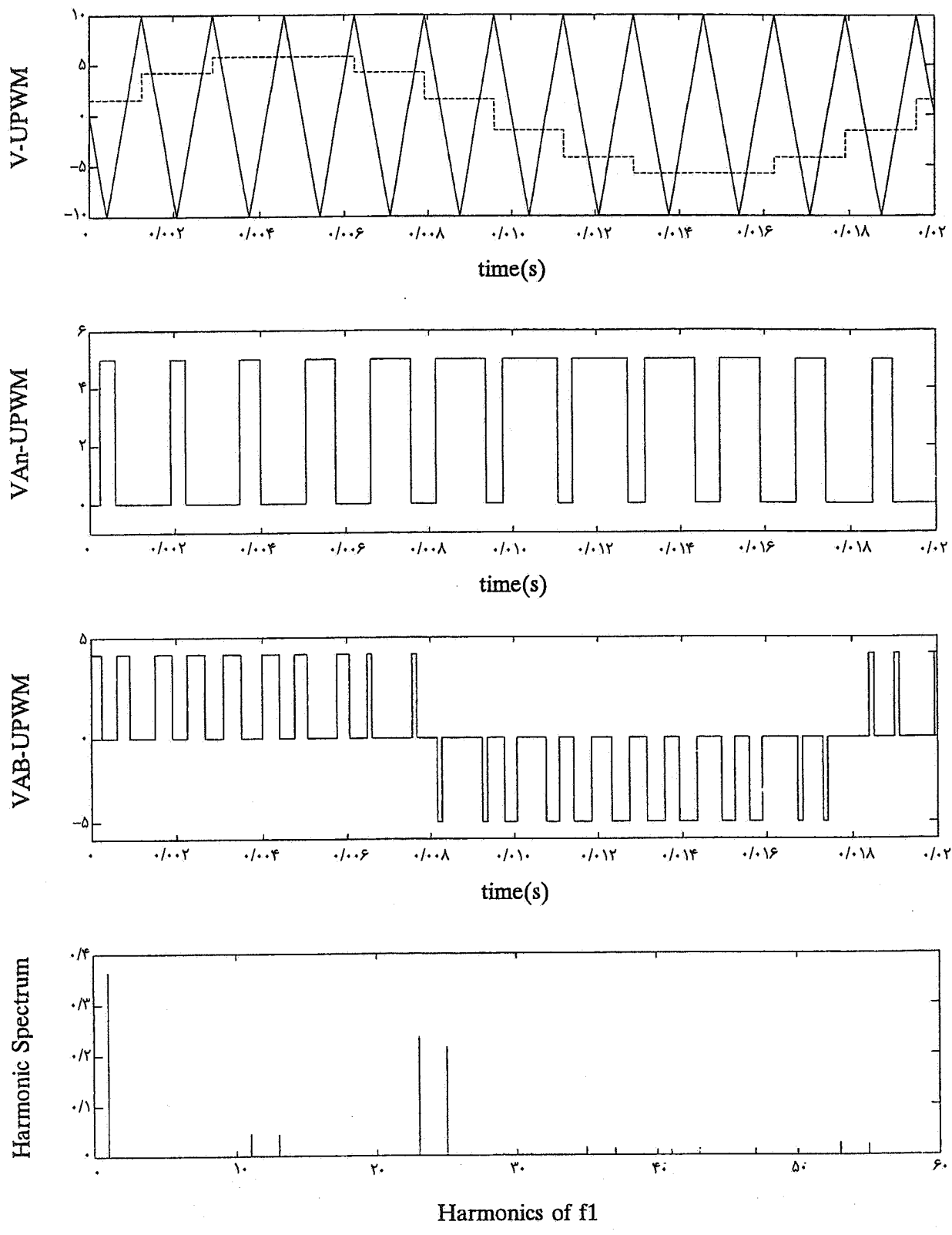
شکل ۴- نتایج رایانه‌ای مربوط به شبیه‌سازی اینورتر T-PWM با  $m_a = 0.33$ ،  $m_f = 0.15$ ،  $\sigma = 0.38$  و  $\gamma = 0.38$

مدار بسته درایو براساس کنترل برداری با امتدادیابی در راستای شار دور پیوندی روتور به نمایش گذاشته شده‌اند، از روی این شکلها تغییرات ناگهانی در مقادیر گشتاور تولیدی باشیم. از طرف دیگر نتایج مؤید این واقعیت‌اند که در روش کنترل برداری، پاسخ سیستم سریعتر بوده و دلیل آن وابستگی گشتاور فقط به مولفه اکتیو بردار جریان استاتور و دامنه شار مغناطیسی است که در زیر سرعت‌های

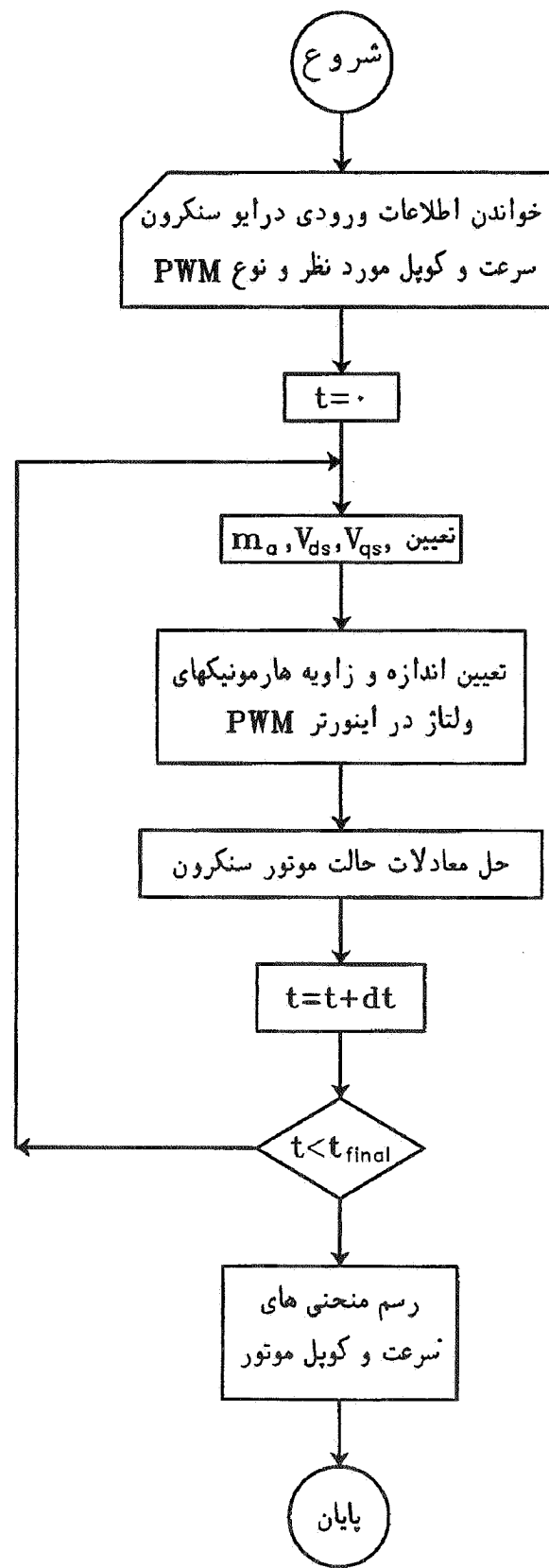
منحنی گشتاور-سرعت به آرامی و مقاوم<sup>۸</sup> قابل حصول بوده بدون آنکه در هر تغییر سرعت برخلاف روش‌های کنترل اسکالار مواجه با به‌طور خلاصه می‌توان نتایج زیر را استخراج کرد.

##### ۵- نتایج

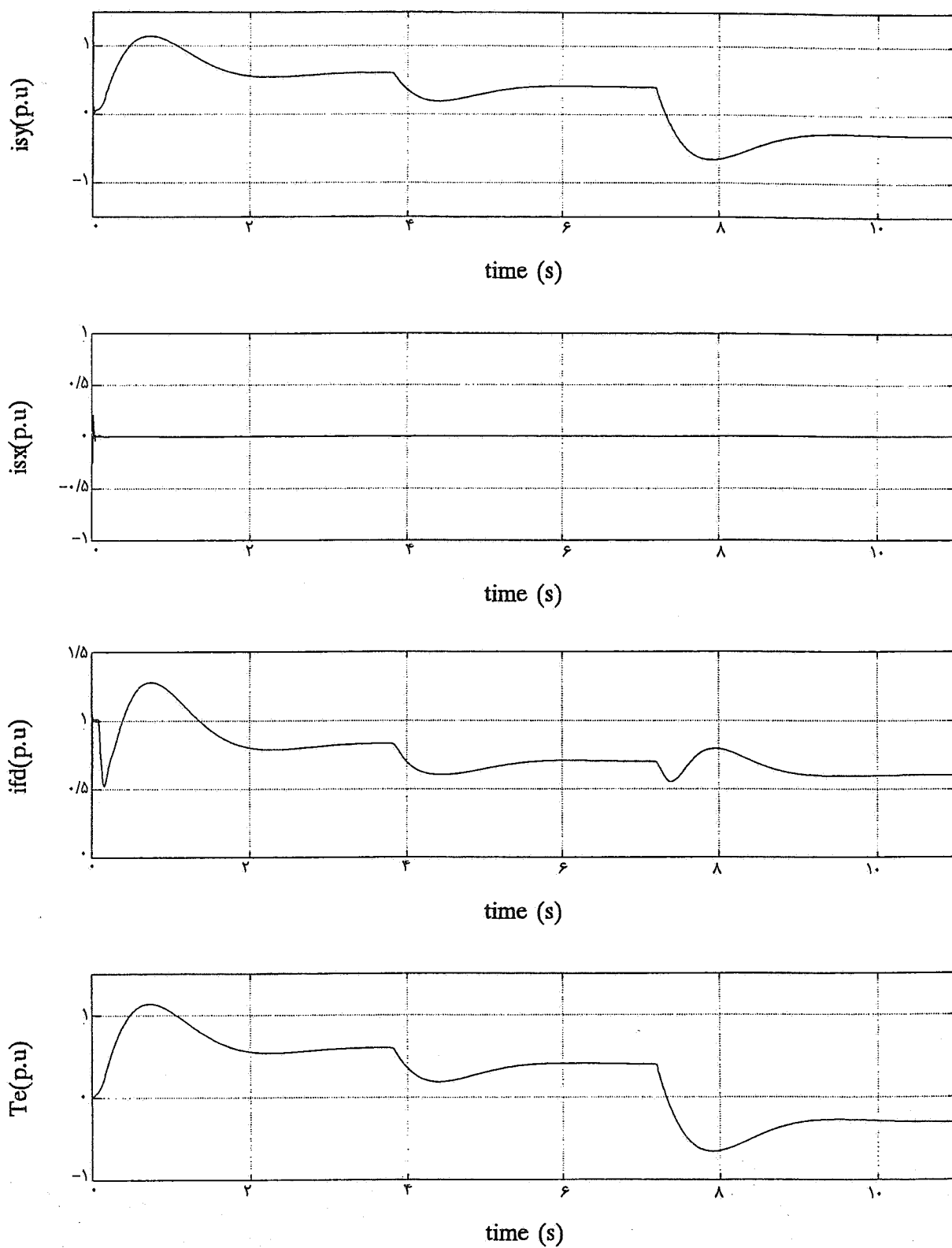
نتایج نشان می‌دهند که کنترل سرعت درایو در چهار ربع کاری



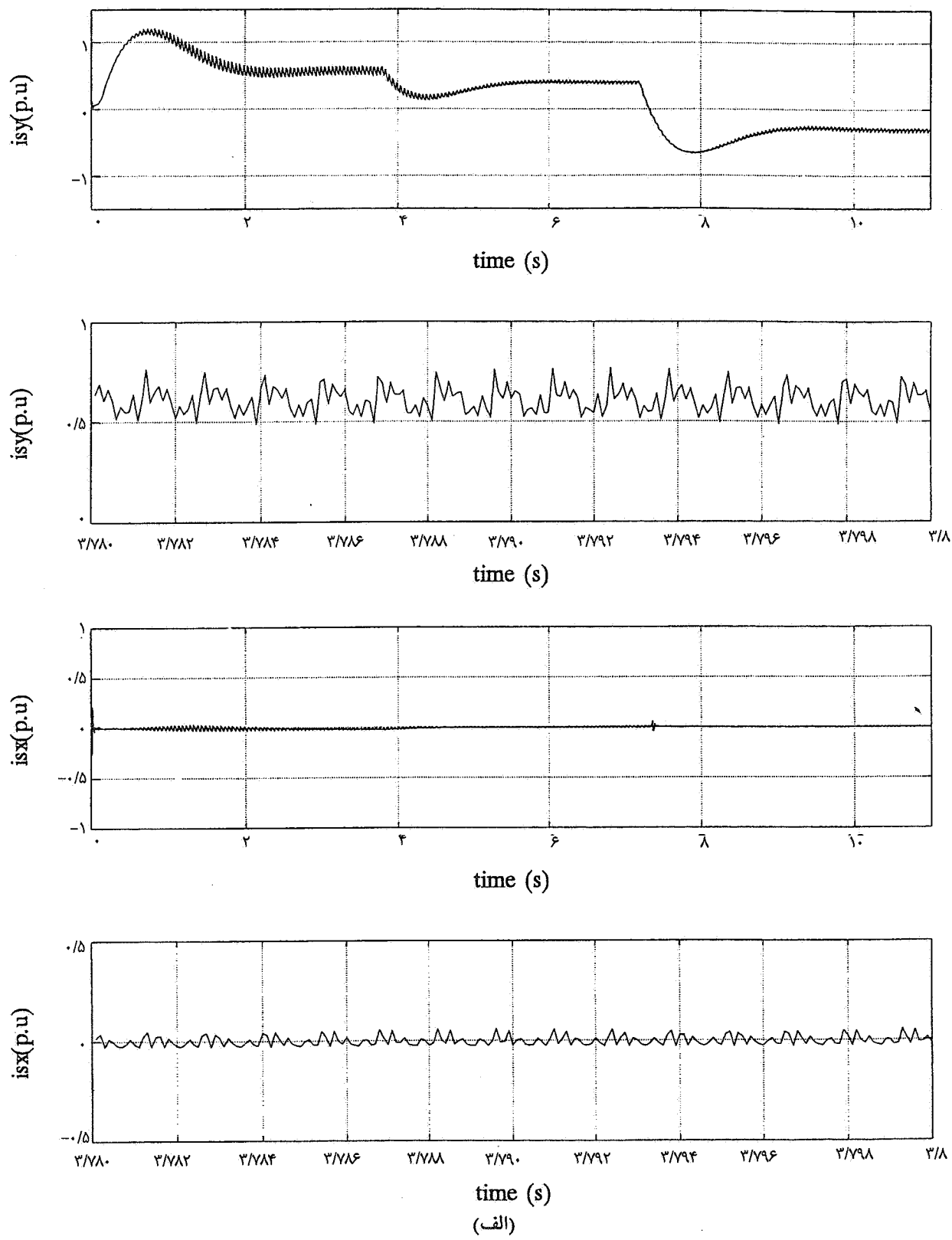
شکل ۵- نتایج رایانه‌ای مربوط به شبیه‌سازی اینورتر UPWM با  $m_f = 12$ ،  $m_a = 8/12$



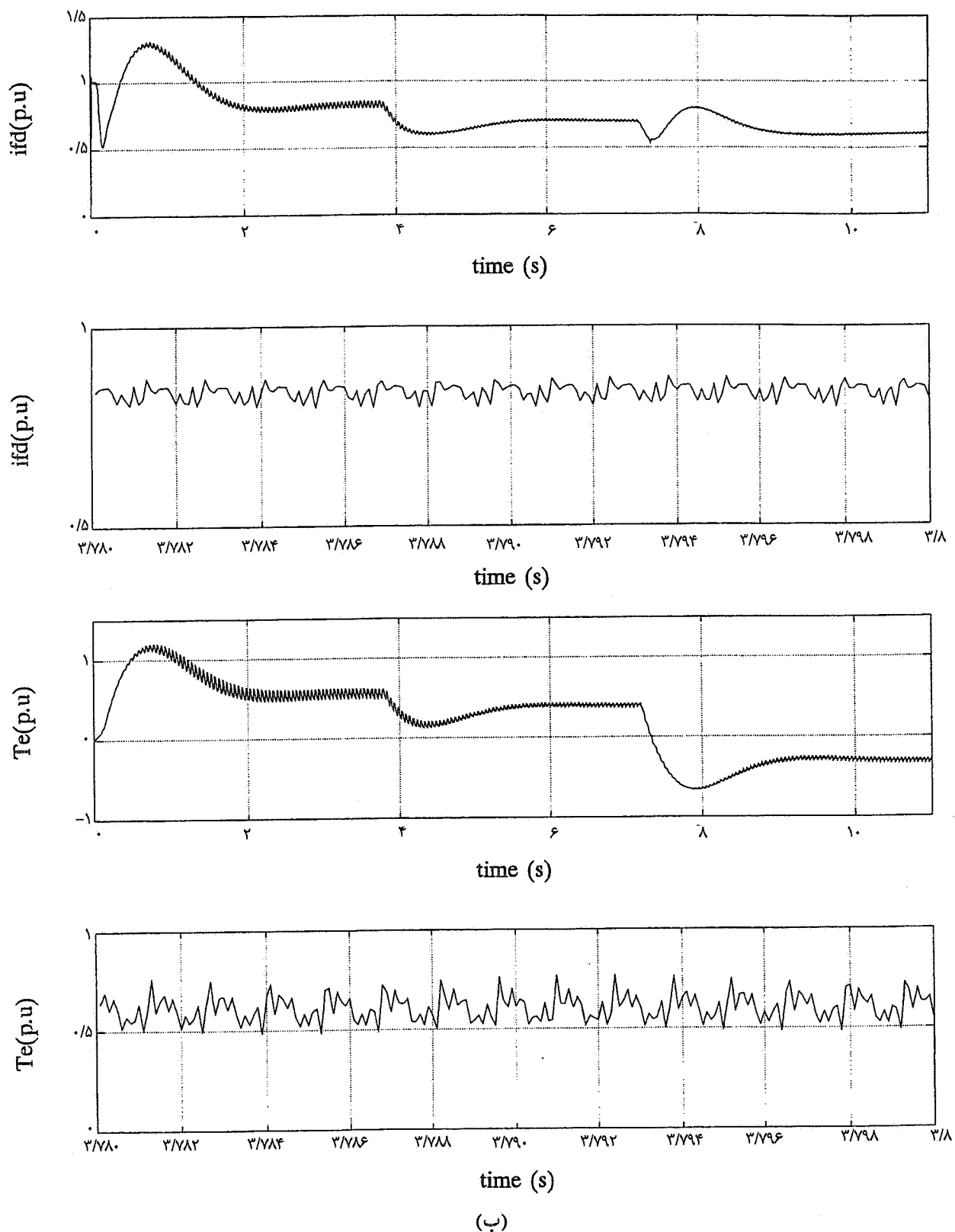
شکل ۶- نمودار جریانی برنامه رایانه‌ای برای شبیه‌سازی سیستم درایو نشان داده شده در شکل (۲)



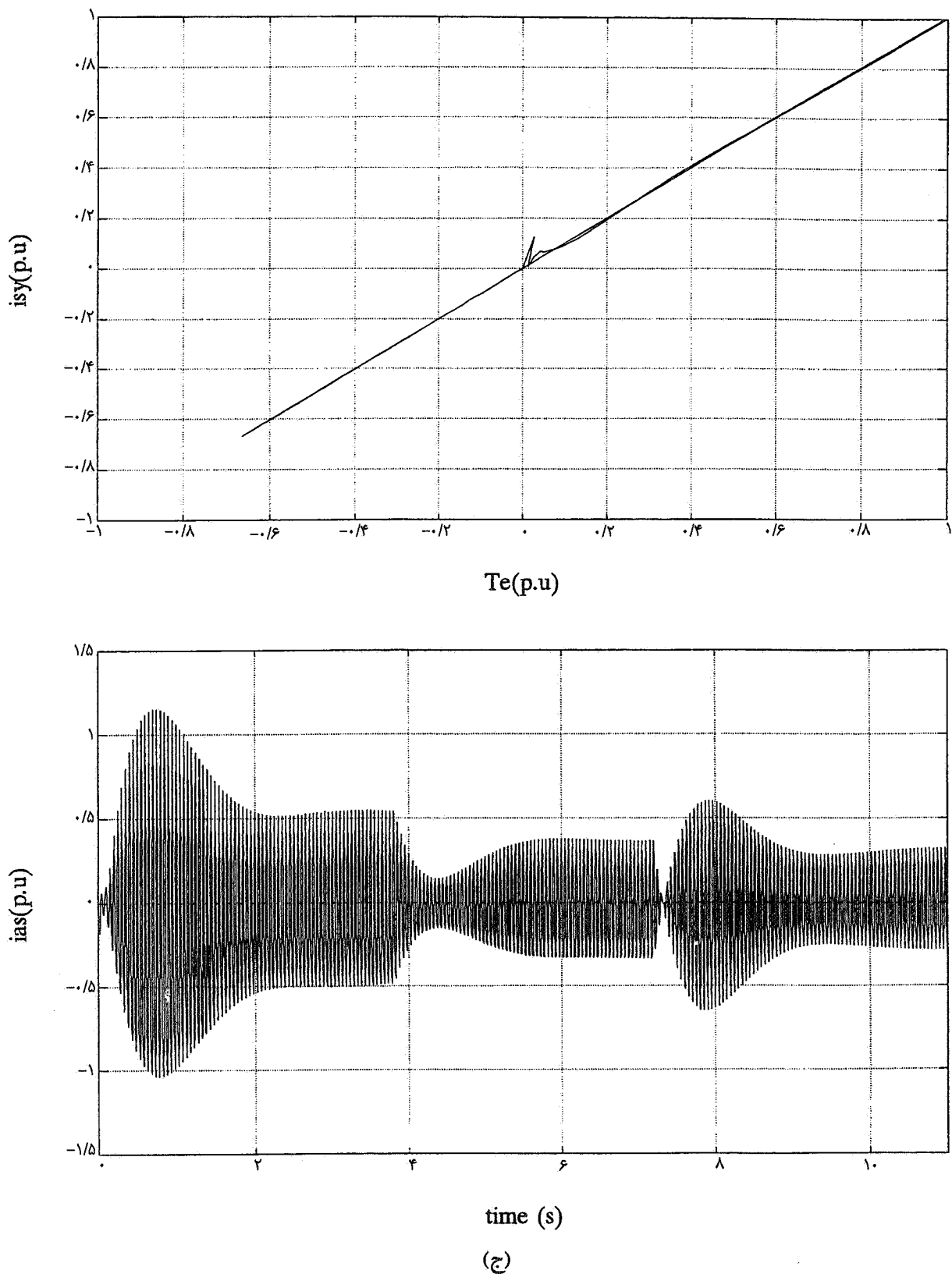
شکل ۷- تابع رایانه‌ای مربوط به سیستم درایو در مدار حلقه بسته با تغذیه سینوسی



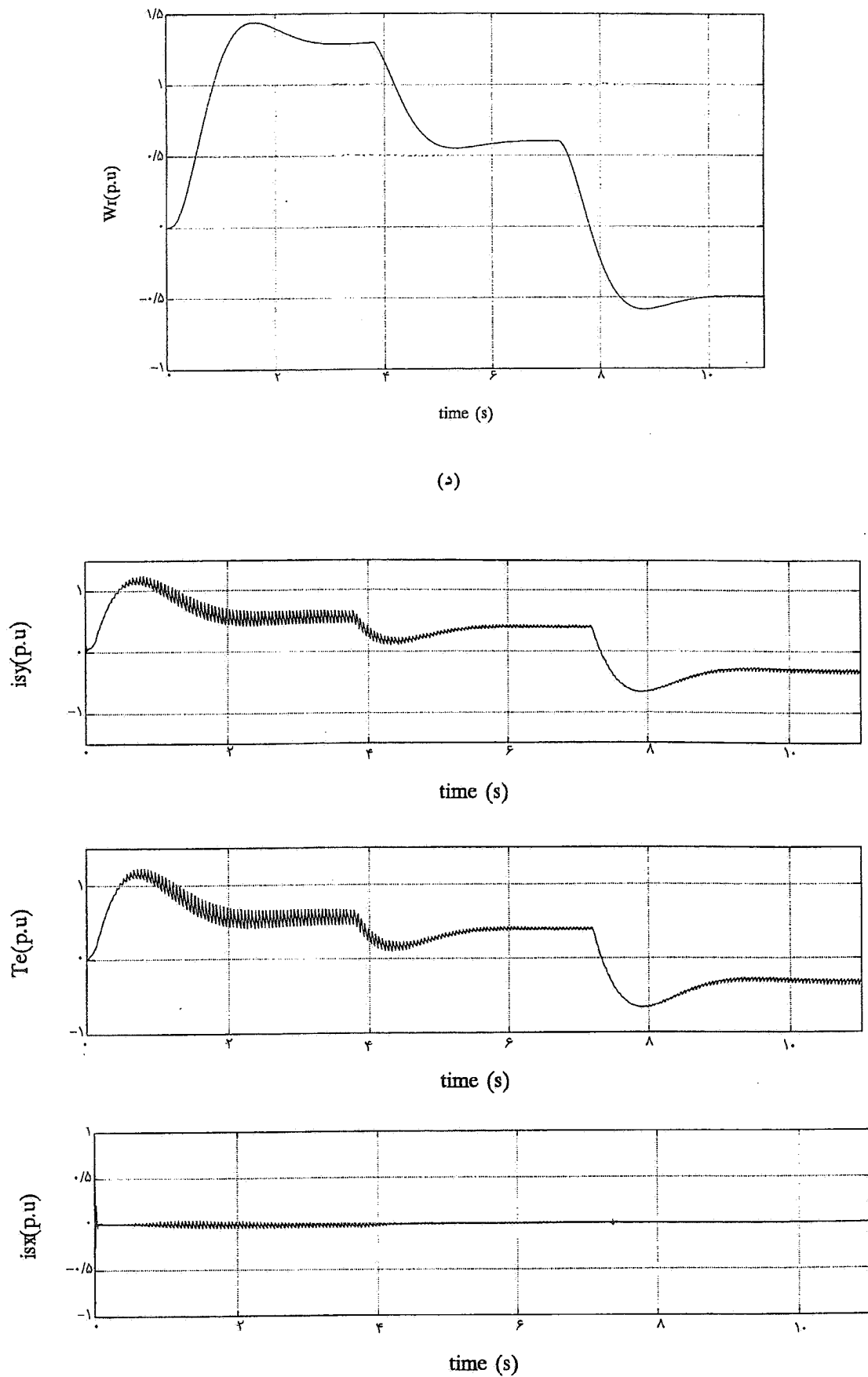
شکل ۸ - نتایج رایانه‌ای مربوط به سیستم درایو مدار حلقه‌بسته تغذیه شده با اینوتر (TPWM)



(ب)



(ج)



شکل ۹- تاییج رایانه‌ای مربوط به سیستم درایو در مدار حلقه بسته تغذیه شده با اینورتر (UPWM)

عکس مرتبه‌شان کاهش یافته‌اند لذا اول تلفات اضافی توسط این هارمونیکها به نحو قابل ملاحظه‌ای کاسته شده و ثانیاً ضربان گشتاور هم پایین آمده است. مضاف به اینکه، کنترل سیستم درایو موافق با ناپایداری هارمونیک نشده است.

پایه مقدار شار مغناطیسی ثابت است. به کارگیری اینورتر مدولاسیون پنهانی پالس ذوزنقه‌ای برای تغذیه اصلی سیستم درایو چون تقریباً قادر هارمونیکهای مرتبه پایین بوده و از طرفی دامنه هارمونیکهای بالاتر نیز متناسب با

#### واژه نامه

- |  |  |                                      |
|--|--|--------------------------------------|
| 1. rotor-flux oriented reference frame | 4. uniform sampling pulse width modulation | 7. sinusoidal pulse width modulation |
| 2. pulse width modulation              | 5. step trapezoidal pulse width modulation | 8. robust                            |
| 3. permanent magnet brushless-DC motor | 6. rotor damper windings                   |                                      |

#### مراجع

1. Shoji, N., and Teruo, K., "Dynamic Control of Self Controlled Synchronous Motor Drive System," *IEEE Trans. on Industry Application*, Vol. 1. IA-20, No. 3., pp. 598-607, May/June 1984.
2. Bendien, J. C., and Geuenich, J., "The State-Space Analysis of Excitation Regulation of Self -Controlled Synchronous Motor Drive System," *IEEE Trans. on Power Electric* Vol. 5, No. 3, pp. 281-288, July 1990.
3. Terens, L., Bommeli, B. J., and Paters, M. K., "The Cycloconverter Fed Synchronous Motor," *Brown Boveri Review*, 4/5, pp. 122-132, May 1982.
4. Nakano, T., Ohsawa H., and Endoh, K., "A High Performance Cycloconverter Fed Synchronous Machine Drive System," *IEEE Trans. on IA*, Vol. IA-20, No. 5, pp. 1278-1284, Sept./Oct. 1984.
5. Kaufman G. A., and Plunkett, A. B., "Steady-State Performance of Voltage Source Inverter/Synchronous Machine Drive Systems," *IEEE Trans. On Industry Application*, Vol. IA-20, No. 4, pp. 753-761, July/August 1984.
6. Muir P., and Neuman, C., "Pulse Width Modulation Control of Brushless Dc Motots for Robotic Applications," *IEEE Trans. Ind Electron.*, Vol. IE-32, No. 3, pp. 222-229, Aug. 1985.
7. Goodman, E. D., "Dynamic Modeling to Inverter-Fed Permanent Magnetic Synchronous Motors," *Proceeding International Conference on the Evolution and Modern Aspects of Synchronous Machines*, Switzerland Vol. 1, pp. 229-233, Aug. 1991.
8. Matsui, N., And Shogyo, M., "Transputer-Based Harmonic Elimination PWM Control of Inverter Drives," *IEEE Trans. On Ind. Applications*, Vol. 28, No. 1, Part I and II, pp. 175-184, Jan./Feb. 1992.
9. Vas, P., *Vector Control of AC Machines*, Oxford Univ. Publication, 1990.
10. Bose, K., *Power Electronics & AC Drive*, Prentice -Hall, International, 1986.
11. Katsunori, T., " A PWM Strategy for Reducing Torqr-Ripple in Inverter-Fed Induction Motor," *IEEE Trans. On Ind. Appl.*, Vol. 30, No. 1, pp. 71-77, Jan./Feb. 1994.
12. Katsunori, T., "Trapezoidal Modulating Signal for Three-Phase PWM Inverter," *IEEE Trans. On Inds. Elec.*, Vol. IE-33, No. 2, pp. 193-200, June 1986.